

# Modèles de turbulence pour la simulation des écoulements

## 5. Modèles non Boussinesq

Paola CINNELLA

[paola.cinnella@sorbonne-universite.fr](mailto:paola.cinnella@sorbonne-universite.fr)

# QCM#3



WEB

- 1 Connectez-vous sur [www.wooclap.com/DHDIAX](http://www.wooclap.com/DHDIAX)
- 2 Vous pouvez participer



SMS

- 1 Pas encore connecté ? Envoyez **@DHDIAX** au **06 44 60 96 62**
- 2 Vous pouvez participer

# Classification des modèles RANS

Modèles à viscosité tourbillonnaire linéaire (Boussinesq)

*Linear Eddy Viscosity Models (LEVM)*

- Algébriques:
  - De longueur de mélange (Prandtl, 1925)
  - À viscosité tourbillonnaire (Baldwin-Lomax, Cebeci-Smith, Michel...)
- Modèles à une équation de transport
  - pour l'énergie cinétique turbulente
  - pour la viscosité turbulente (Spalart-Allmaras, Baldwin-Barth)
- Modèles à deux équations de transport
  - k-e, k-w, k-l, k-t, q-w, ...

Modèles à viscosité tourbillonnaire non linéaire  
(Modèles aux tensions de Reynolds algébriques)

*Non-linear Eddy Viscosity Models (NLVM)*  
*Algebraic Stress Models (ASM)*

- Analogie viscoélastique
- Modèles aux tensions de Reynolds algébriques
- Modèles algébriques explicites (EARS)

Modèles aux tensions de Reynolds (équations de transport)

*Reynolds-Stress Models (RSM)*

Equations de transport pour les 6 composantes du tenseur de Reynolds + une échelle de longueur  
Launder-Reece-Rodi, Wilcox-Rubesin,...

# Points faibles de l'approximation de Boussinesq

- Hypothèse de Boussinesq :

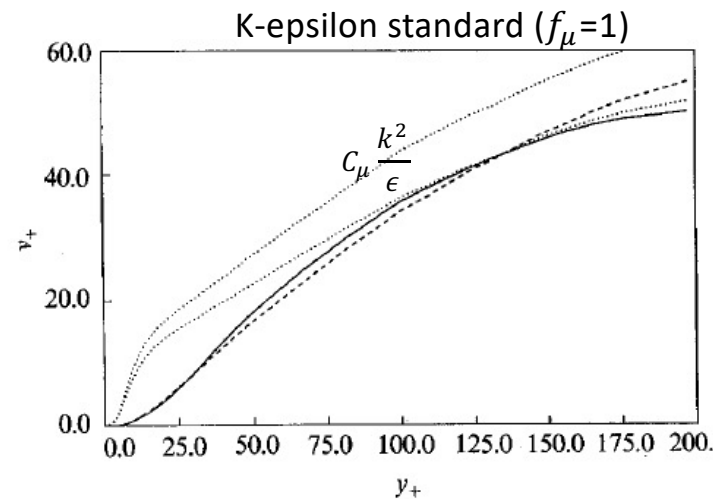
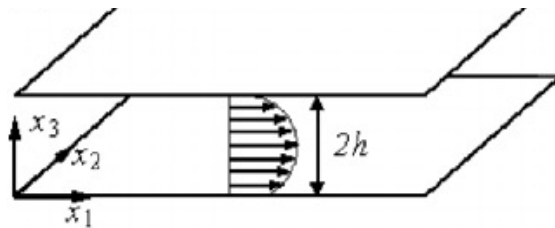
$$\tau_{ij}^R - \frac{2}{3}\rho k \delta_{ij} = 2\rho \nu_t \bar{S}_{ij}, \quad \bar{S}_{ij} = \frac{1}{2} \left( \frac{\partial \bar{u}_i}{\partial x_j} + \frac{\partial \bar{u}_j}{\partial x_i} \right) = \text{tenseur du taux de déformation moyen}$$

avec  $\nu_t = \frac{\mu_t}{\rho} = C_\mu l_m \nu_m$

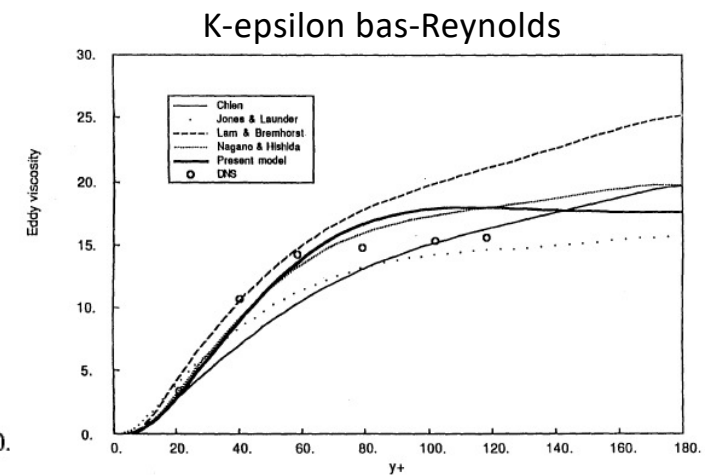
- Les axes principaux du tenseur de Reynolds sont alignés avec ceux du tenseur de déformation moyen!
  - La turbulence ne s'adapte pas de façon instantanée aux changements brusques de  $\bar{S}_{ij}$
  - Les effets d'histoire ne sont pris en compte que via  $\nu_t$
  - Les désalignements entre  $\tau_{ij}^R$  et  $\bar{S}_{ij}$  ne peuvent pas être capturés par un modèle Boussinesq
- Exemples :
    - Ecoulements avec changements brusques du taux de déformation moyen
    - Ecoulement sur des surfaces courbes
    - Ecoulements secondaires dans des conduites
    - Ecoulements en rotation
    - Ecoulements 3D
    - Ecoulements décollés
    - Ecoulements avec chocs ou forts gradients de pression

# Exemples : $\nu_t$ « exact » vs $\nu_t$ modélisé

- Ecoulement dans un canal plan :



[Durbin, 2009]

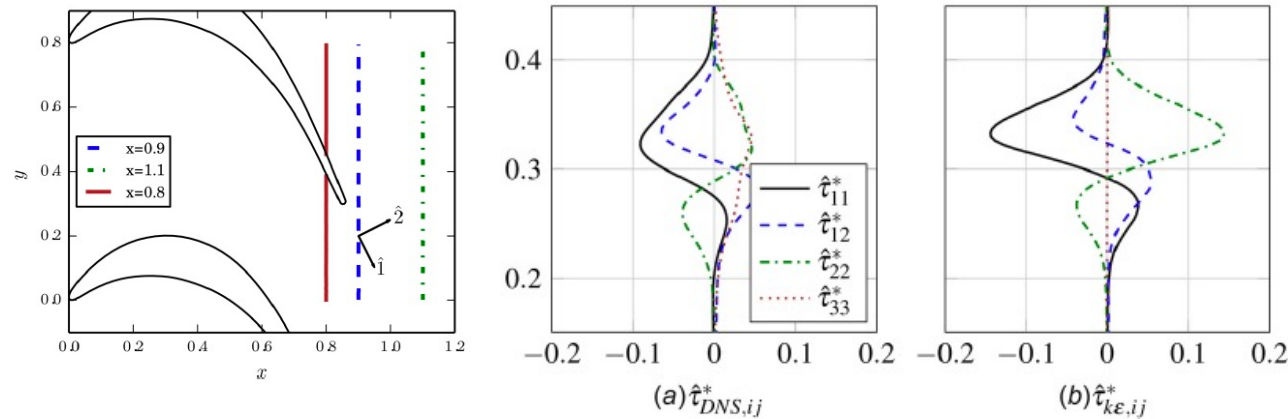


(Shih, 1990)

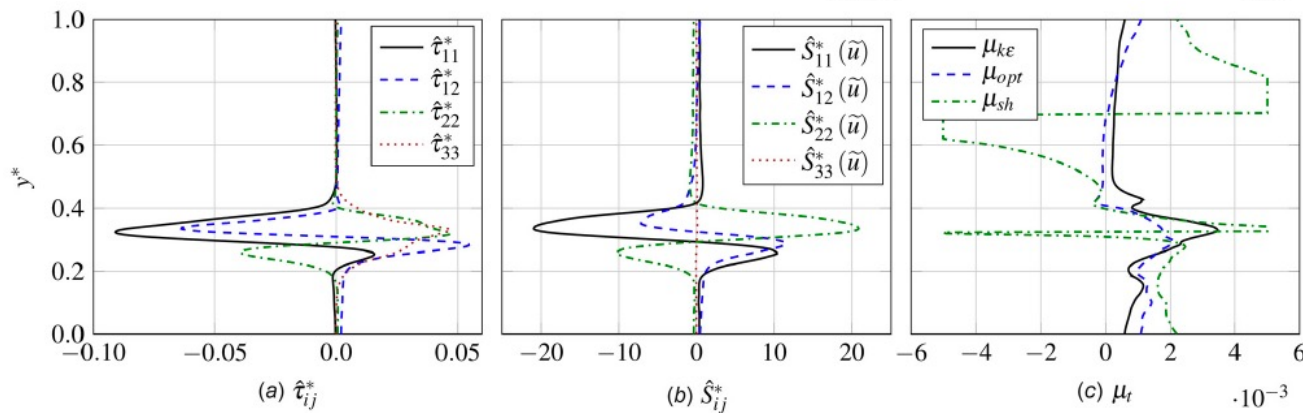
$$\nu_{t,exact} = \frac{\overline{u'v'}}{|\frac{\partial \bar{u}}{\partial y}|}; \quad \nu_{t,k-\epsilon} = C_\mu f_\mu \frac{k^2}{\epsilon}; \quad \nu_{t,v2f} = C_\mu \overline{v'^2} \frac{k^2}{\epsilon}$$

# Exemples : $\nu_t$ « exact » vs $\nu_t$ modélisé

- Ecoulement dans une grille d'aubes de turbine (rotor NASA T106) [Pitchler et al., 2016]



Profils de  $\tau_{ij}^R$  exacts et modélisés pour  $x=0.9$



Profils de  $a_{ij}$  et  $\bar{S}_{ij}$  exacts et  $\mu_t$  associé pour  $x=0.9$

$$\mu_{t,k\epsilon} = 0.09 \bar{\rho} \frac{k^2}{\epsilon} \quad \mu_{t,sh} = \frac{1}{2} \frac{\hat{\tau}_{12}^*}{\hat{S}_{12}^*}$$

$$\mu_{t,opt} = \frac{1}{2} \frac{\sum_{k=1}^3 \sum_{l=1}^3 \tilde{S}_{kl}^* \tau_{kl}^*}{\sum_{k=1}^3 \sum_{l=1}^3 S_{kl}^{*2}}$$

# Exemples : écoulement de Tucker-Reynolds

- Le champ de vitesse moyen est défini par :
  - $\bar{u} = U; \bar{v} = 0; \bar{w} = 0$  pour  $x < 0$
  - $\bar{u} = U; \bar{v} = -ay; \bar{w} = az$   $a = \text{cte}$  est le taux de cisaillement moyen pour  $0 < x < L$
  - $\bar{u} = U; \bar{v} = 0; \bar{w} = 0$  pour  $x > L$
- A cause de la deformation appliquée, la turbulence deviant anisotrope, et elle ne retourne à l'isotropie que bien en aval de la zone perturbée

- On introduit le paramètre de distorsion :  $K = \frac{\overline{v'^2} - \overline{w'^2}}{\overline{v'^2} + \overline{w'^2}}$

- Pour un modèle Boussinesq :

$$\tau_{11}^R = -\frac{2}{3}\rho k; \tau_{22}^R = -\rho v_t a - \frac{2}{3}\rho k; \tau_{33}^R = \rho v_t a - \frac{2}{3}\rho k;$$

$$\tau_{12}^R = \tau_{13}^R = \tau_{23}^R = 0 \rightarrow$$

- $K = 0$   $x < 0$ ;  $K = \frac{3a}{2k}$ ;  $K = 0$   $x > L$
- Pour  $a=0 \rightarrow$  retour **immédiat** à l'isotropie ( $\tau_{ij}^R = -\frac{2}{3}\rho k\delta_{ij}$ )

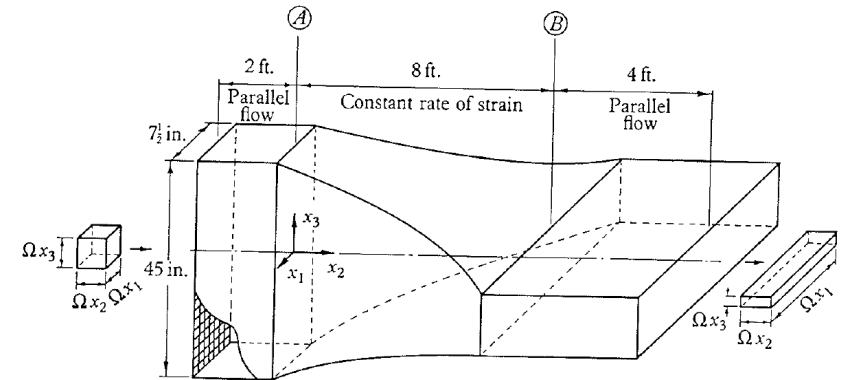


FIGURE 1. Laterally distorting tunnel, schematic representation of the section of wind tunnel producing a constant positive rate of strain in the horizontal direction and an equal negative rate of strain in the vertical direction.

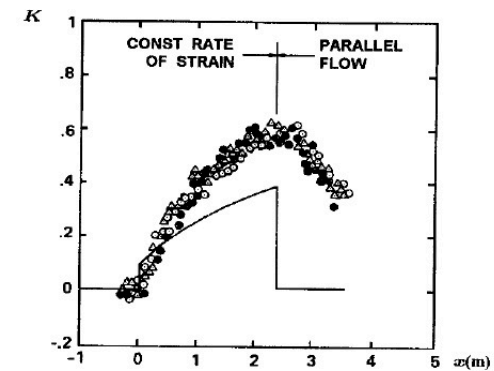


Figure 6.1: Computed and measured distortion parameter for the Tucker-Reynolds plane-strain flow: —  $k-\omega^2$  model;  $\circ \bullet \triangle$  Tucker-Reynolds. [From Wilcox and Rubesin (1980).]



## Exemples : écoulement sur une paroi courbe

- Parois courbes (convexes ou concaves), le frottement pariétal diffère fortement (>10%) de celui estimé à partir des équations de couche limite pour une paroi plane (par ex. équation intégrale de von Karman) dès que le rapport entre le rayon de courbure  $R$  et l'épaisseur locale de la couche limite  $\delta$  est >100.
- La courbure a un effet encore plus important sur le flux de chaleur (20% d'écart)
- Les modèles Boussinesq classiques ne permettent pas de prendre en compte les effets de courbure
  - Pour une couche limite turbulente stationnaire 2D sur une paroi courbe, l'équation de  $k$  s'écrit :
$$\bar{u} \frac{\partial k}{\partial x} + \bar{v} \frac{\partial k}{\partial y} = \nu_t \left( \frac{\partial \bar{u}}{\partial y} - \frac{\bar{u}}{R} \right)^2 - \epsilon + \frac{\partial}{\partial y} \left[ \left( \nu + \frac{\nu_t}{\sigma_k} \right) \frac{\partial k}{\partial y} \right]$$
  - Les effets de courbure n'apparaissent que dans le terme de production et il sont faibles devant le cisaillement moyen
- Des corrections de courbure ont été proposées pour certains modèles (Spalart-Allmaras,  $k-\omega$ , ...)
- Elles correspondent généralement à des corrections *ad hoc* et elles sont difficilement applicables à des écoulements arbitraires



# Exemples : écoulements dans des conduites non axisymétriques

## ■ Formation de tourbillons de coin (écoulements secondaires)

- Donne lieu à une composante de vorticité selon l'axe du conduit (x)

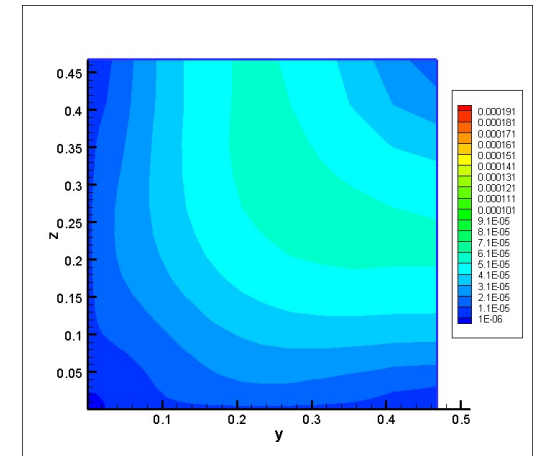
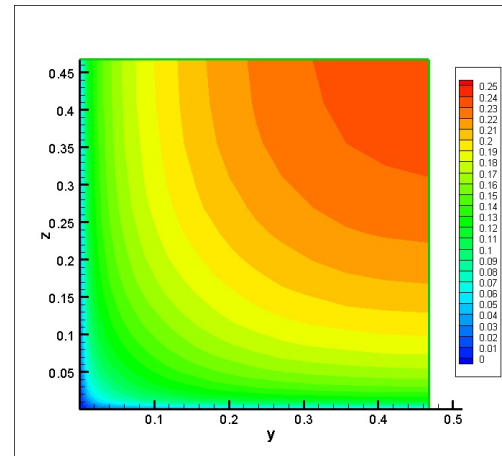
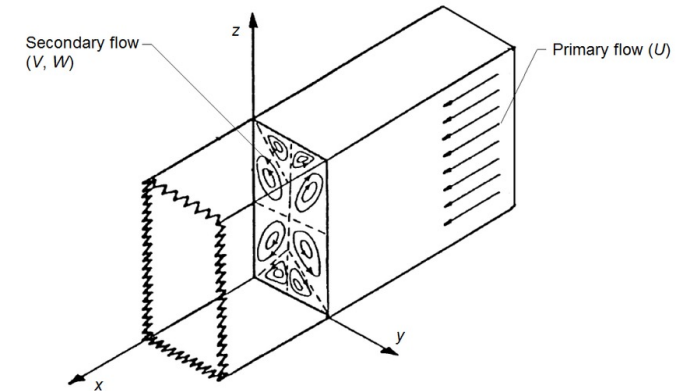
$$\bar{v} \frac{\partial \bar{\omega}_x}{\partial y} + \bar{w} \frac{\partial \bar{\omega}_x}{\partial z} = \nu \left( \frac{\partial^2 \bar{\omega}_x}{\partial y^2} + \frac{\partial^2 \bar{\omega}_x}{\partial z^2} \right) + \frac{\partial^2 (\bar{w}'^2 - \bar{v}'^2)}{\partial y \partial z} + \frac{\partial^2 \bar{v}' \bar{w}'}{\partial y^2} - \frac{\partial^2 \bar{v}' \bar{w}'}{\partial z^2}$$

- On démontre que, si  $\bar{w}'^2 = \bar{v}'^2$ , alors les termes de cisaillement sont 0
  - Pas de vorticité en x
- Il faut donc  $\bar{w}'^2 - \bar{v}'^2 \neq 0$
- Or, pour un modèle Boussinesq, on a :

$$\bar{v}'^2 = -2\nu_t \frac{\partial \bar{v}}{\partial y} + \frac{2}{3} \bar{k},$$

$$\bar{w}'^2 = -2\nu_t \frac{\partial \bar{w}}{\partial z} + \frac{2}{3} \bar{k},$$

- A l'état initial, les vitesses  $\bar{v}$  et  $\bar{w}$  sont nulles dans tout le conduit et  $\bar{\omega}_x$  aussi
- Pas de mécanisme permettant la formation des écoulements secondaires
- La seule composante de vitesse non nulle est  $\bar{u}$



Modèle Spalart-Allmaras, vitesse axiale et transverse

# Représentations graphiques du tenseur d'anisotropie

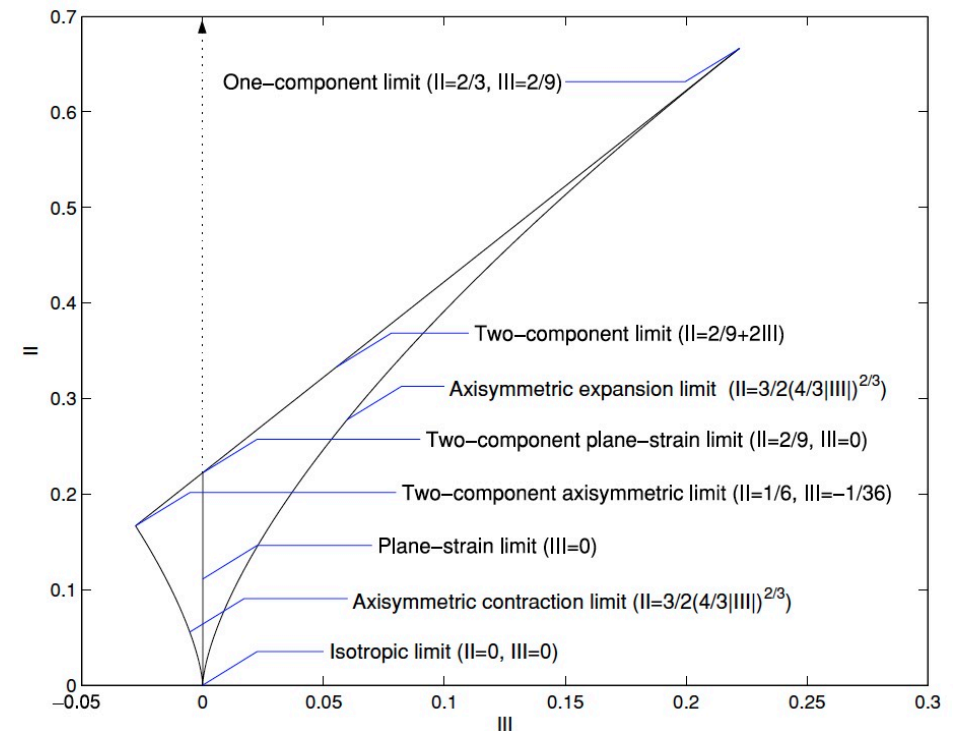
- Rappel : le tenseur d'anisotropie est diagonalisable  $\mathbf{A} = \mathbf{E}\mathbf{\Lambda}\mathbf{E}^T$ , avec  $\mathbf{\Lambda} = \text{diag}(\lambda_1^A, \lambda_2^A, \lambda_3^A)$ , et  $\mathbf{E}$  la matrice des vecteur propres
- On peut utiliser les invariants de  $\mathbf{A}$  pour décrire le caractère multi-dimensionnel des fluctuations turbulentes (1D, 2D ou 3D) :  

$$I_A = \text{tr}(\mathbf{A}) = \lambda_1^A + \lambda_2^A + \lambda_3^A = 0; \quad (\lambda_1^A \geq \lambda_2^A \geq \lambda_3^A)$$

$$II_A = \text{tr}(\mathbf{A})^2 - \text{tr}(\mathbf{A}^2) = \lambda_1^A \lambda_2^A + \lambda_1^A \lambda_3^A + \lambda_2^A \lambda_3^A;$$

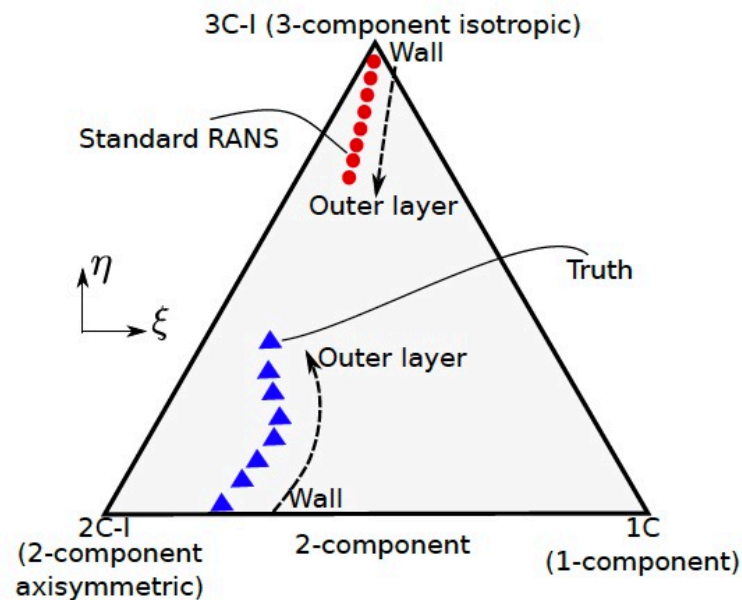
$$III_A = \det(\mathbf{A}) = \lambda_1^A \lambda_2^A \lambda_3^A$$
- Compte-tenu des conditions de réalisabilité de  $\tau_{ij}^R$ , il faut que :  

$$-1/3 \leq \frac{a_{ii}}{k} \leq 2/3; \quad -1/2 \leq \frac{a_{ij}}{k} \leq 1/2$$
- Représentation via le **triangle de Lumley** (non linéaire)



# Triangles baricentriques

- Représentation alternative (Banerjee)
- On pose  $C_1 = \lambda_1 - \lambda_2$   $C_2 = 2(\lambda_2 - \lambda_3)$   $C_3 = 3\lambda_3 + 1$   $C_1 + C_2 + C_3 = 1$
- Un point à l'intérieur du triangle est identifié par ses distances aux trois sommets :  $\xi = \xi_{1c}C_1 + \xi_{2c}C_2 + \xi_{3c}C_3$
- Pour un modèle RANS Boussinesq  $a_{ij} = 2\rho\nu_t\bar{S}_{ij} \rightarrow$  en 2D  $III_A=0$



Etats du tenseur d'anisotropie pour un écoulement pariétal 2D:

- rouge, RANS Boussinesq
- bleu, DNS

# Modèles aux tensions de Reynolds (RSM)

- On rappelle l'équation exacte pour les tensions de Reynolds :

$$\frac{\partial \tau_{ij}^R}{\partial t} + \bar{u}_k \frac{\partial \tau_{ij}^R}{\partial x_k} = -\tau_{ik}^R \frac{\partial \bar{u}_j}{\partial x_k} - \tau_{jk}^R \frac{\partial \bar{u}_i}{\partial x_k} + 2\mu \overline{\frac{\partial u'_i}{\partial x_k} \frac{\partial u'_j}{\partial x_k}} + \overline{u'_i \frac{\partial p'}{\partial x_j}} + \overline{u'_j \frac{\partial p'}{\partial x_i}} + \frac{\partial}{\partial x_k} \left[ \nu \frac{\partial \tau_{ij}^R}{\partial x_k} + \rho \overline{u'_i u'_j u'_k} \right]$$

- Le terme  $\overline{u'_i \frac{\partial p'}{\partial x_j}} + \overline{u'_j \frac{\partial p'}{\partial x_i}}$  peut être réécrit sous la forme :

- En posant

- $\Pi_{ij} = \frac{1}{\rho} \overline{u'_i \frac{\partial p'}{\partial x_j}} + \overline{u'_j \frac{\partial p'}{\partial x_i}} = \frac{p'}{\rho} \left( \frac{\partial u'_i}{\partial x_j} + \frac{\partial u'_j}{\partial x_i} \right) \rightarrow$  correlation pression/déformation
- $\epsilon_{ij} = 2 \frac{\mu}{\rho} \overline{\frac{\partial u'_i}{\partial x_k} \frac{\partial u'_j}{\partial x_k}} = 2\nu \overline{\frac{\partial u'_i}{\partial x_k} \frac{\partial u'_j}{\partial x_k}} \rightarrow$  tenseur de dissipation
- $C_{ijk} = \overline{u'_i u'_j u'_k} + \frac{1}{\rho} \overline{p' u'_i \delta_{jk}} + \frac{1}{\rho} \overline{p' u'_j \delta_{ik}} \rightarrow$  transport turbulent et diffusion de pression

on obtient enfin :

$$\frac{\partial \tau_{ij}^R}{\partial t} + \bar{u}_k \frac{\partial \tau_{ij}^R}{\partial x_k} = -\tau_{ik}^R \frac{\partial \bar{u}_j}{\partial x_k} - \tau_{jk}^R \frac{\partial \bar{u}_i}{\partial x_k} + \rho \epsilon_{ij} - \rho \Pi_{ij} + \frac{\partial}{\partial x_k} \left[ \nu \frac{\partial \tau_{ij}^R}{\partial x_k} + \rho C_{ijk} \right]$$

# Modèles aux tensions de Reynolds (RSM)

- Potentiel des modèles RSM pour les écoulements hors équilibre
  - Les équations de transport pour les tensions de Reynolds prennent en compte par construction les **effets d'histoire**
  - La solution de ces équation n'est **pas un tenseur isotrope** (en général)
  - Les termes de convection et production des tensions de Reynolds permettent d'inclure les effets de **rotation** et **courbure** des lignes de courant

# Fermeture des équations RSM

■ De nombreuses variantes existent. Les hypothèses de modélisation les plus utilisées sont les suivantes :

- Tenseur de dissipation isotrope :  $\epsilon_{ij} \approx \frac{2}{3}\epsilon\delta_{ij}$ ,  $\epsilon = \overline{\nu \frac{\partial u'_i}{\partial x_k} \frac{\partial u'_i}{\partial x_k}}$  à modéliser (comme pour les modèles à 2 équations)

- Des versions anisotropiques existent (e.g. Hanjalic et Launder, 1976)

- Transport turbulent et de pression (LRR, Launder, Reece, Rodi, 1975) :

- Une simple modélisation de type gradient ne permet pas d'assurer l'invariance à la rotation

- LRR proposent une écriture plus générale  $C_{ijk} = \frac{2}{3}C_s \frac{k^2}{\epsilon} \left[ \frac{\partial \tau_{jk}^R}{\partial x_i} + \frac{\partial \tau_{ik}^R}{\partial x_j} + \frac{\partial \tau_{ij}^R}{\partial x_k} \right]$ ,

- Corrélation pression/déformation :

- Rôle prépondérant (même ordre de grandeur que le terme de production)

- Pour un écoulement incompressible les fluctuations de pression sont la solution de l'équation elliptique suivante :

$$\frac{1}{\rho} \nabla^2 p' = \underbrace{-2 \frac{\partial \bar{u}_i}{\partial x_j} \frac{\partial u'_j}{\partial x_i}}_{\text{terme « rapide »}} - \underbrace{\frac{\partial^2}{\partial x_i \partial x_j} (u'_i u'_j - \overline{u'_i u'_j})}_{\text{terme « lent »}}$$

(obtenue en prenant la divergence de la quantité de mouvement fluctuante)

- Nota : pour un écoulement compressible il s'agit d'une équation hyperbolique

# Fermeture des équations RSM

- Dans le cas de turbulence homogène il est possible de résoudre séparément les équations de Poisson pour le terme rapide et le terme lent et obtenir les pression fluctuante :

$$p' = p'_{slow} + p'_{rapid}$$

- Après injection dans la définition de  $\Pi_{ij}$ , on obtient :

$$\Pi_{ij} = \mathcal{A}_{ij} + \mathcal{M}_{ijkl} \frac{\partial \bar{u}_k}{\partial x_l} (*)$$

- Avec  $\mathcal{A}_{ij}$  et  $\mathcal{M}_{ijkl}$  obtenus en utilisant la fonction de Green en espace libre :

$$\mathcal{A}_{ij} = \frac{1}{4\pi} \iiint_V \left( \frac{\partial u'_i}{\partial x_j} + \frac{\partial u'_j}{\partial x_i} \right) \frac{\partial^2 (u'_k u'_l)}{\partial y_k \partial y_l} \frac{d^3 y}{|\mathbf{x} - \mathbf{y}|}$$

$$\mathcal{M}_{ijkl} = \frac{1}{2\pi} \iiint_V \left( \frac{\partial u'_i}{\partial x_j} + \frac{\partial u'_j}{\partial x_i} \right) \frac{\partial u'_k}{\partial y_l} \frac{d^3 y}{|\mathbf{x} - \mathbf{y}|}$$

- Remarque : le terme  $\Pi_{ij}$  dépend **d'intégrales en espace** → les tensions de Reynolds ne dépendent pas que des propriétés locales de l'écoulement
- En pratique, les corrélations turbulentes décroissent assez rapidement et il est possible d'étendre la formule (\*) à des écoulements génériques, sous l'hypothèse **d'homogénéité locale**
- Les convolutions avec la fonction de Green sont très coûteuses à calculer : → remplacées par des modèles
  - Terme lent : Rotta, 1951
  - Terme rapide : LRR, 1975



# Fermeture des équations RSM

- Il reste encore à modéliser → équation de transport supplémentaire
  - Modèle RSM de Launder, Reece et Rodi : équation de transport pour  $\epsilon$
  - Alternative (modèle RSM de Wilcox) : une équation de transport pour  $\omega$
  
- **Remarques :**
  - un modèle RSM requiert la résolution de 7 équations de transport supplémentaires (en 3D)
  - un modèle RSM ne fait pas intervenir la viscosité tourbillonnaire
  - ce manque de dissipation peut entraîner des problèmes de robustesse numérique
  - Modèles a priori plus précis
  - Le coût accru et la moindre robustesse ont empêché une large utilisation des RSM dans les applications industrielles

# Modèles RSM algébriques

## ■ Modèles aux tensions de Reynolds algébriques (ARSM)

- Equations pour  $\tau_{ij}^R$  simplifiées sous l'hypothèse :  $\frac{D\tau_{ij}^R}{Dt} \approx \frac{\tau_{ij}^R}{k} \frac{Dk}{Dt}$
- On ne résout que des équations pour l'énergie cinétique turbulente et pour l'échelle de longueur
- Relations algébriques implicites pour  $\tau_{ij}^R \rightarrow$  couteux en temps de calcul, parfois instables

## ■ Modèles aux tensions de Reynolds algébriques explicites (EARSM)

- Les relations précédentes sont réécrites de façon explicite sous une hypothèse d'équilibre local
- On obtient des relations constitutives où le premier terme est de type Boussinesq, suivi par des termes qui sont des fonctions quadratiques du gradient de vitesse moyen

## ■ Gatski and Speziale (1993) EARSM:

$$\tau_{ij}^R = 2\rho\nu_t \left( \bar{S}_{ij} - \frac{1}{3} \bar{S}_{kk} \delta_{ij} \right) - \frac{2}{3} \rho k \delta_{ij} - \rho\nu_t \frac{\alpha_4}{\omega} (\bar{S}_{ik} \bar{\Omega}_{kj} - \bar{\Omega}_{ik} \bar{S}_{kj}) + \rho\nu_t \frac{\alpha_5}{\omega} (\bar{S}_{ik} \bar{S}_{kj} - \frac{1}{3} \bar{S}_{kl} \bar{S}_{kl} \delta_{ij})$$

$$\text{avec } \nu_t = C_\mu^* \frac{k}{\omega}; C_\mu^* = \frac{3(1+\eta^2)\alpha_1}{3+\eta^2+6\eta^2\xi^2+6\xi^2}; \eta^2 = \frac{\alpha_2}{\omega^2} \bar{S}_{kl} \bar{S}_{kl}; \xi^2 = \frac{\alpha_3}{\omega^2} \bar{\Omega}_{kl} \bar{\Omega}_{kl}$$

+ équations de transport pour  $k$  et  $\omega$  (ou une grandeur permettant de calculer une longueur turbulente)

## Modèles « non linéaires »

- L'approximation de Boussinesq donne lieu à une loi de comportement linéaire pour le tenseur d'anisotropie

$$a_{ij} = 2\rho\nu_t \bar{S}_{ij}$$

- On peut imaginer d'utiliser un polynôme tensoriel d'ordre supérieur, par exemple en incluant des termes quadratiques
- On suppose que  $a_{ij}$  ne dépend que du gradient de vitesse et on cherche une fonction tensorielle de la forme :

$$a_{ij} = a_{ij}(\bar{S}_{ij}, \bar{\Omega}_{ij})$$

- Théoriquement, celle-ci peut-être écrite sous la forme d'une série infinie de polynomes
- La théorie des invariants montre que le tenseur d'anisotropie peut-être écrit sous la forme :

$$a_{ij} = \sum_{l=1, \dots, 10} \alpha_l(I_1, I_2, I_3, I_4, I_5) T_{ij}^l$$

où seulement 10 tenseurs (3 en 2D) et 5 invariants (2 en 2D) sont nécessaires :

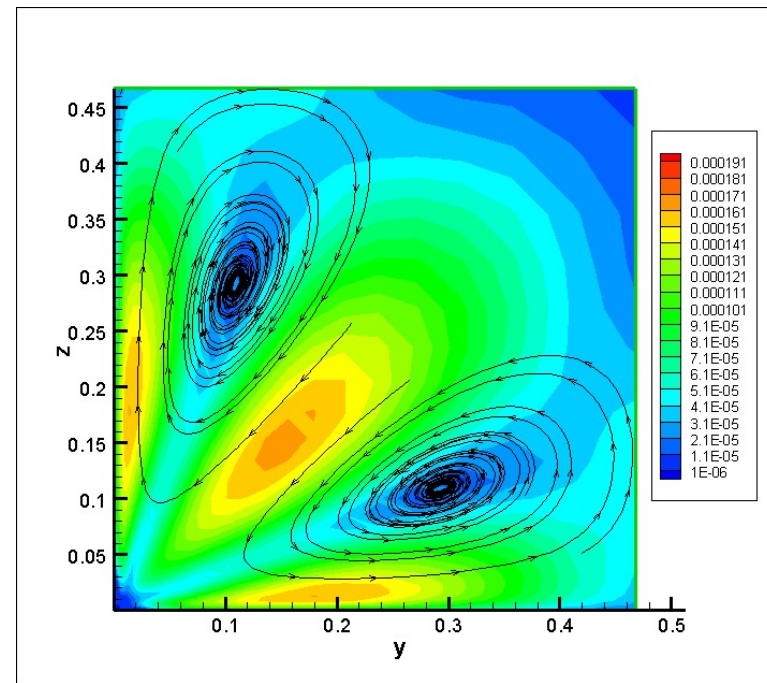
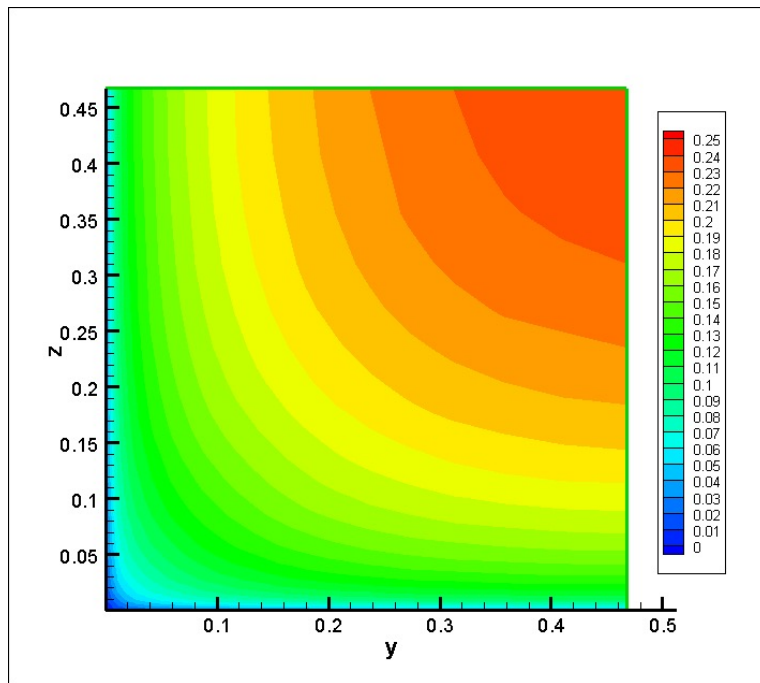
- $T_{ij}^1 = \bar{S}_{ij}; T_{ij}^2 = \bar{S}_{ik} \bar{\Omega}_{kj} - \bar{\Omega}_{ik} \bar{S}_{kj}; T_{ij}^3 = \bar{S}_{ik} \bar{S}_{kj} - \frac{1}{3} \bar{S}_{kl} \bar{S}_{kl} \delta_{ij}; T_{ij}^4 = \bar{\Omega}_{ik} \bar{\Omega}_{kj} - \frac{1}{3} \bar{\Omega}_{kl} \bar{\Omega}_{kl} \delta_{ij} \rightarrow$  termes quadratiques (seuls en 2D)
- $T_{ij}^5 = \bar{\Omega}_{ik} \bar{S}_{kl} \bar{S}_{lj} - \bar{S}_{ik} \bar{S}_{kl} \bar{\Omega}_{lj}; T_{ij}^6 = \bar{\Omega}_{ik} \bar{\Omega}_{kl} \bar{S}_{lj} + \bar{S}_{ik} \bar{\Omega}_{kl} \bar{\Omega}_{lj} - \frac{2}{3} (\bar{S}_{nk} \bar{\Omega}_{kl} \bar{\Omega}_{lm})^2 \delta_{ij} \rightarrow$  termes cubiques
- $T_{ij}^7 = \bar{\Omega}_{ik} \bar{S}_{kl} \bar{\Omega}_{lm} \bar{\Omega}_{mj} - \bar{\Omega}_{ik} \bar{\Omega}_{kl} \bar{S}_{lm} \bar{\Omega}_{mj}; T_{ij}^8 = \bar{S}_{ik} \bar{\Omega}_{kl} \bar{S}_{lm} \bar{S}_{mj} - \bar{S}_{ik} \bar{S}_{kl} \bar{\Omega}_{lm} \bar{S}_{mj};$   
 $T_{ij}^9 = \bar{\Omega}_{ik} \bar{\Omega}_{kl} \bar{S}_{lm} \bar{S}_{mj} + \bar{S}_{ik} \bar{S}_{kl} \bar{\Omega}_{lm} \bar{\Omega}_{mj} - \frac{2}{3} (\bar{S}_{pk} \bar{S}_{kl} \bar{\Omega}_{lm} \bar{\Omega}_{mn})^2 \delta_{ij} \rightarrow$  ordre 4
- $T_{ij}^{10} = \bar{\Omega}_{ik} \bar{S}_{kl} \bar{S}_{lm} \bar{\Omega}_{mn} \bar{\Omega}_{nj} - \bar{\Omega}_{ik} \bar{\Omega}_{kl} \bar{S}_{lm} \bar{S}_{mn} \bar{S}_{nj} \rightarrow$  ordre 5
- $I_1 = |\bar{S}^2|; I_2 = |\bar{\Omega}^2|; I_3 = |\bar{S}^3|; I_4 = |\bar{\Omega}^2 \bar{S}|; I_5 = |\bar{\Omega}^2 \bar{S}^2|$  (invariants 2D)

## Modèles « non linéaires »

- Pope (1975) introduit la notion de « viscosité tourbillonnaire effective » (non linéaire), en s'appuyant sur la décomposition tensorielle précédente
- Les modèles EARSM de Gatski et Speziale utilisent la même base tenseurs et peuvent donc être vus comme des modèles non linéaires
- Modèles non linéaires alternatifs:
  - Modèle QCR (*quadratic constitutive relation*) de Spalart (2000) :  
loi de comportement quadratique + équation de transport pour la viscosité tourbillonnaire
  - Modèle non linéaire de Speziale (1989) :  
analogie avec les lois de comportement pour les fluides de Oldroyd (viscoélastiques)

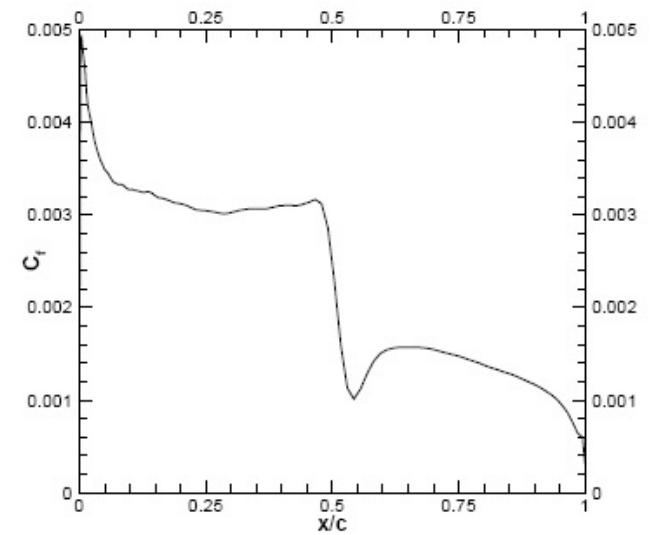
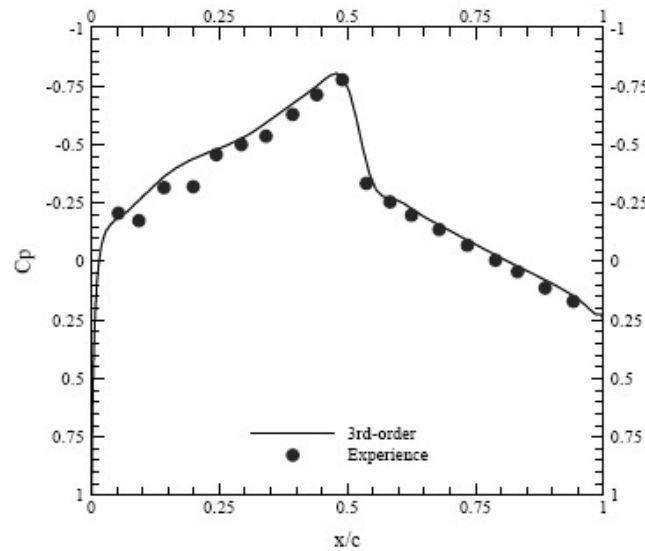
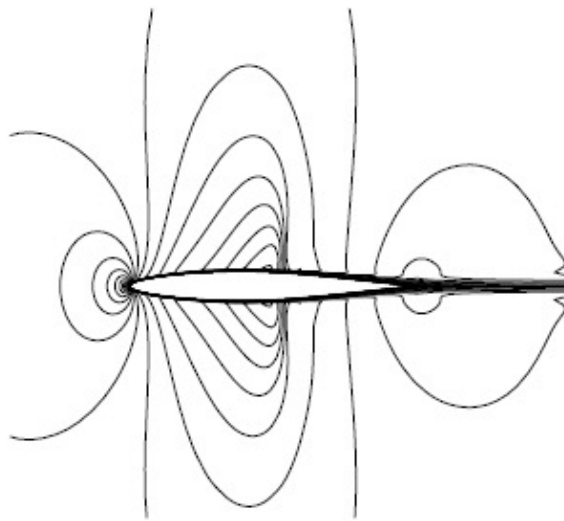
# Applications

- Ecoulement dans un conduit carré, modèles EARSM k-l



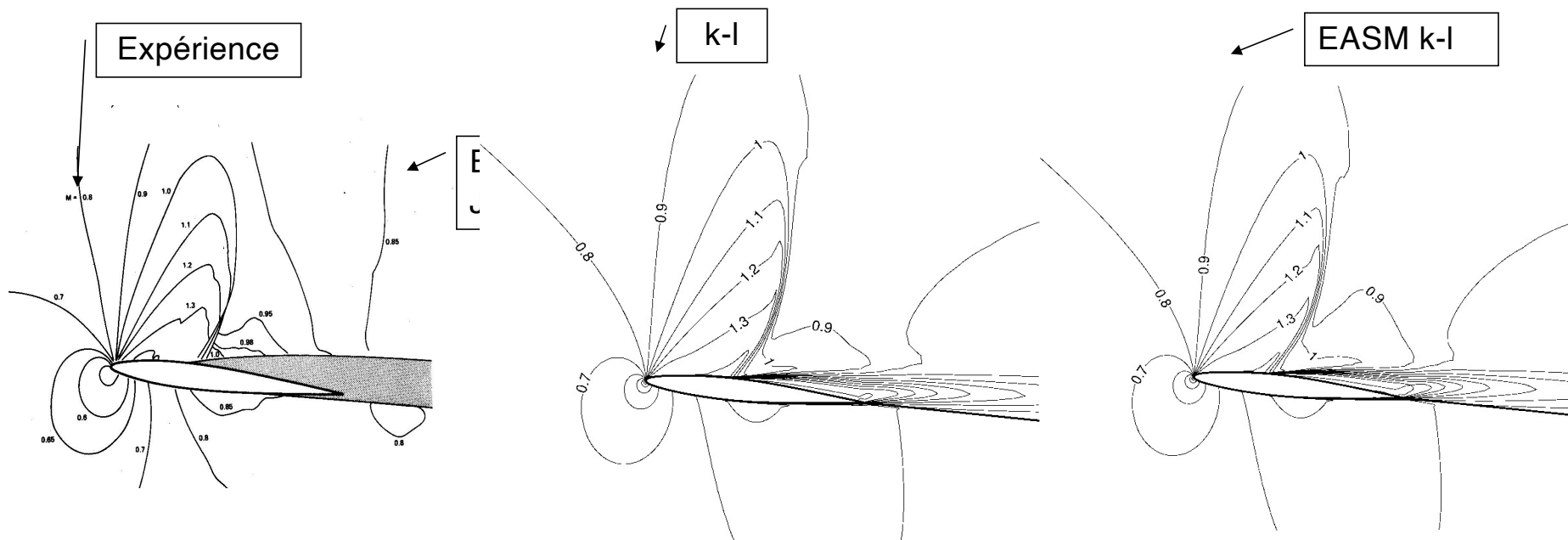
# Applications

- Ecoulement transsonique à faible incidence autour d'un NACA64A010
- $Mach=0.796$ ,  $Re=12e6$ ,  $AoA=0$
- Résultats, modèle de Baldwin-Lomax



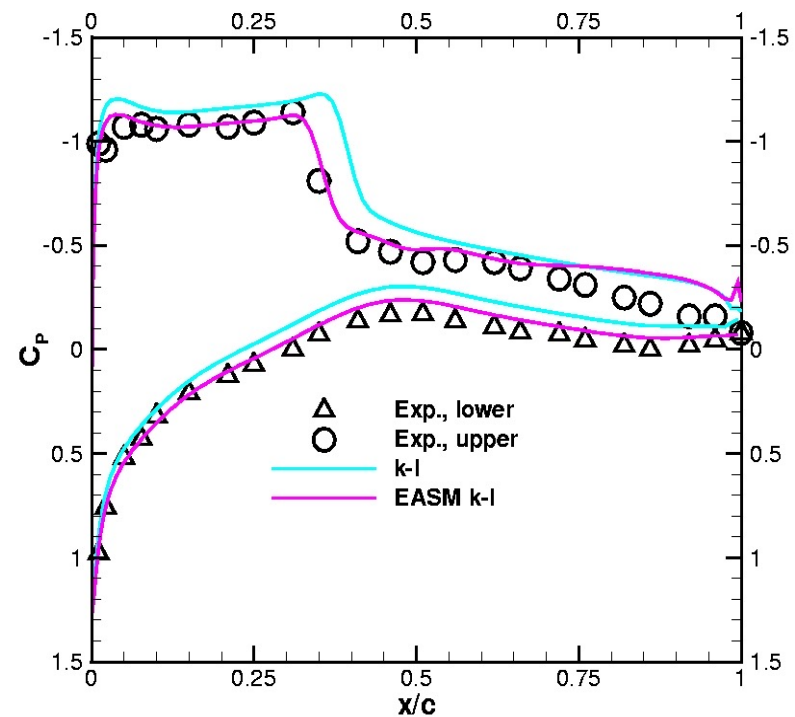
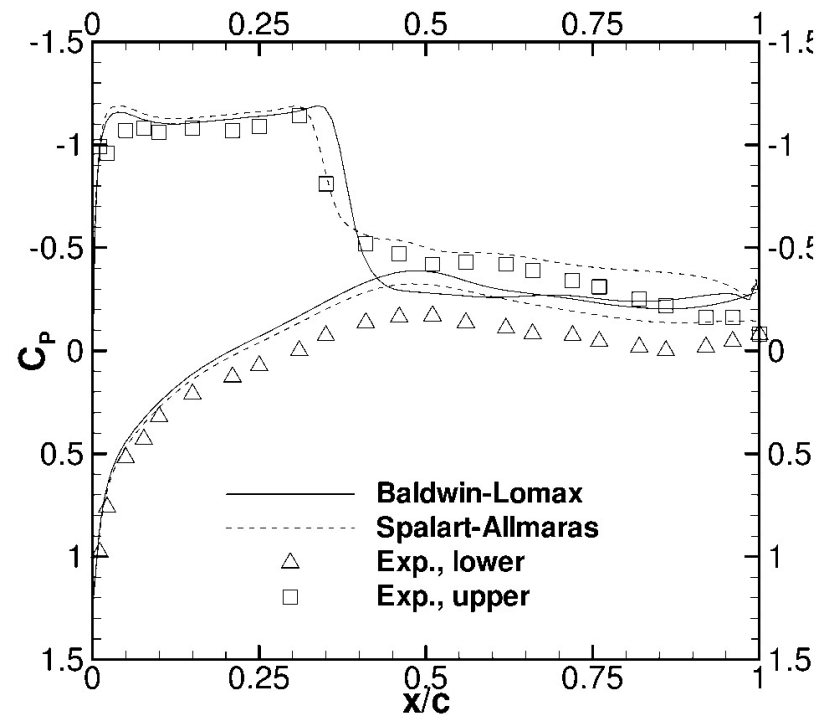
# Applications

- Ecoulement transsonique à faible incidence autour d'un NACA64A010
- $Mach=0.796$ ,  $Re=12e6$ ,  $AoA=4^\circ$
- Lignes isoMach

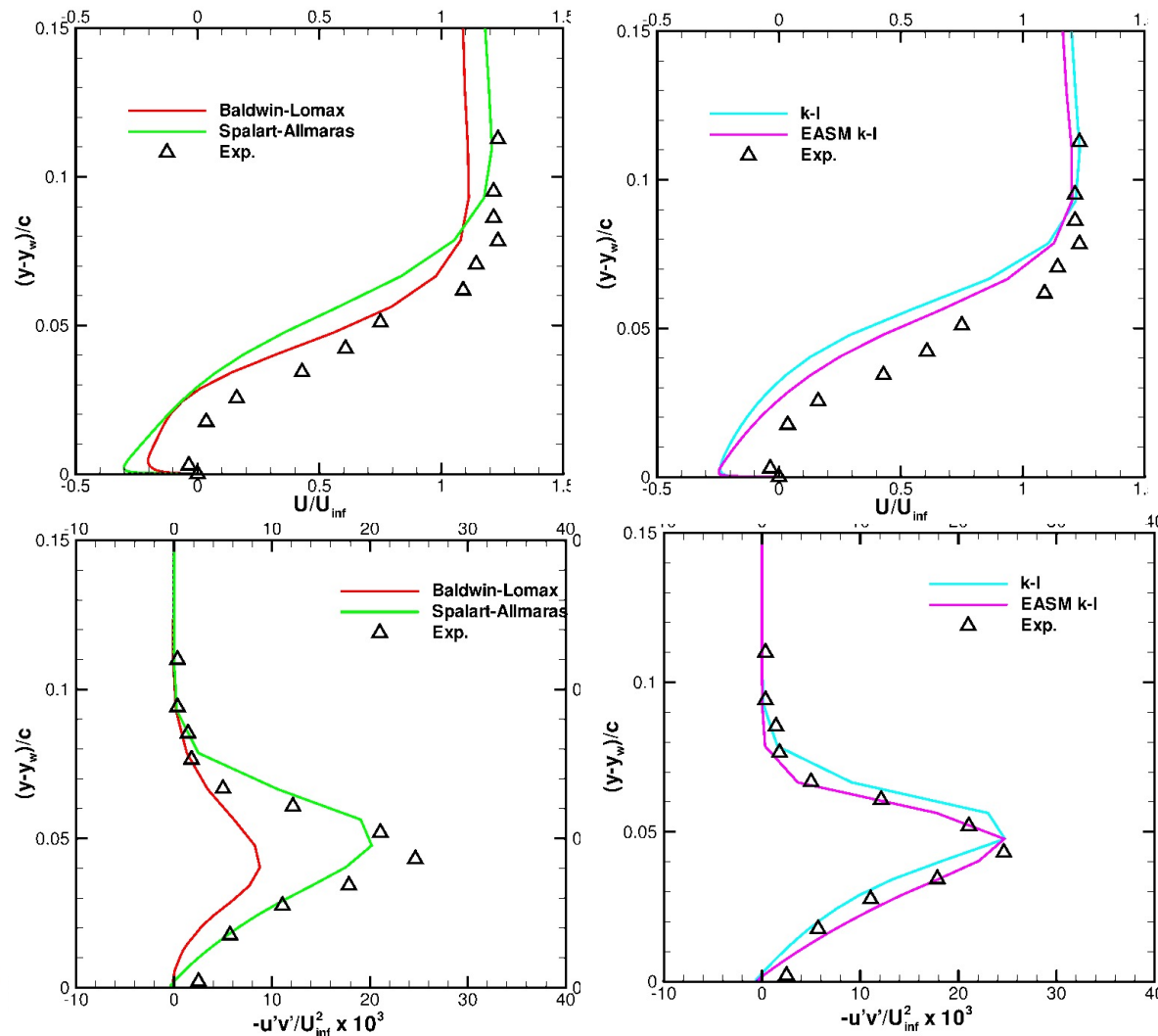




# Coefficient de pression à la paroi



## Profils de vitesse/cisaillement pour $x/c=0.67$ (extrados)



## Coût de calcul

Model	CFL	Total cost
B-L	2	0.433
S-A	2	0.533
k- $\varepsilon$	2	1
k-l	2	0.833
EASM k- $\varepsilon$	1	2.33
EASM k-l	1	1.70

# Récapitulatif sur les modèles RSM et non linéaires

## Avantages

- Modèles complets
- Tiennent (mieux) compte des effets
  - d'histoire,
  - rotation,
  - Courbure
  - gradients de pression
  - anisotropie

## Inconvénients

- Plus grande complexité que les modèles Boussinesq
- Coût de calcul plus important
- Moindre robustesse numérique